

5.0) Introdução

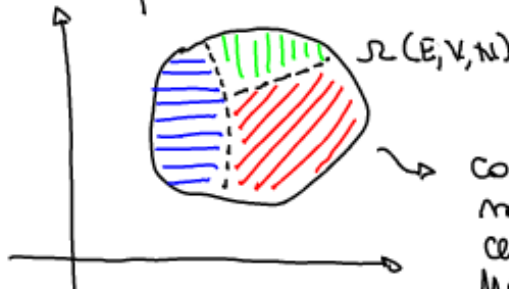
Baseado no Cap. 4
de Salinos e Sze.
3.3-3.5 de Reif

Agora iremos discutir com mais detalhes a interação entre dois sistemas.

Iremos considerar que temos 2 sistemas cada um em seu equilíbrio e que são colocados juntos para interagir. Entre outras coisas queremos obter o novo estado de equilíbrio.

Iremos considerar que o sistema todo ($1+2$) está isolado com todos os seus variáveis macro fixas. Para este sistema usaremos a distribuição de prob. uniforme, como já discutido.

Sabendo que temos um sistema isolado com energia E , volume V , N partículas (no verdade essas quantidades são conhecidas com certa precisão ΔE , δV e δN como já discutido). Então podemos obter os números de microestados compatíveis $\Omega(E, V, N)$. Mas o sistema tb pode ter outros propriedades internas ou restrições externas $\{x_i\}$ (momento angular, momento magnético, comprimento) que não conhecemos. Assim nem todos os microestados $\Omega(E, V, N)$ têm o mesmo valor para as variáveis $\{x_i\}$ (veja fig)



Como uns dos três regiões tem microestados compatíveis com um certo valor das variáveis $\{x_i\}$.
Mas todos os três são compatíveis com E, V, N

Como todos os microestados são equiprováveis temos:

$$\beta(E, V, N, \{x_i\}) \propto \Omega(E, V, N, \{x_i\})$$

prob. de o sist.
ter o valor $\{x_i\}$ p/
as variáveis que
não são conhecidas
(ou n'tão fixas)

\hookrightarrow # de microestados
compatíveis com E, V e N (fixas)
e os valores $\{x_i\}$ p/ as
variáveis não fixas

Como vemos, para sistema macro ($N \sim 10^{23}$) a dist. de prob. $\beta(\{x_i\})$ (em geral omitimos a dep. nas variáveis fixas) tem um máximo pronunciado e de pequeno ângulo. Ou seja, existe um estado muito mais provável que os outros e as flutuações são pequenas. Assim identificamos este estado com o estado de equilíbrio termodinâmico. Justificar mais formalmente isto também será um dos nossos objetivos.

O ensemble de sistemas isolados descrito pelo dist. de prob. uniforme é chamado de ensemble microcanônico. Assim introduzimos nosso primeiro ensemble: onde o sistema está completamente isolado com E, V e N fixas.

Após estudos as interações e estabelecer alguns resultados iremos dar alguns exemplos de sistemas isolados descritos pelo ensemble microcanônico.

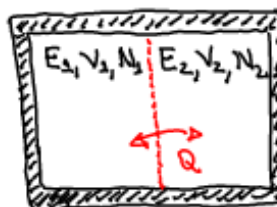
5.1) Interações Térmicas

Primeiro iremos analisar interações térmicas. Para isso vamos considerar dois sistemas, A_1 e A_2 , inicialmente em seus estados de equilíbrio.

Temos $\Omega_1(E_1)$: # de microestados do sistema A_1 com energia entre E_1 e $E_1 + \delta E_1$. Deve depender de V_1 e N_1 , mas vou omitir.
 $\Omega_2(E_2)$: # de microestados do sistema A_2 com energia entre E_2 e $E_2 + \delta E_2$.

Os dois sistemas são colocados em contato e podem assim trocar energia em forma de calor. Mas parâmetros externos estão fixos: não podem haver perturbações entre si ou realizar trabalho. O sistema todo $A_1 + A_2$ está isolado com energia total fixa $V_1 + V_2$ e # de partículas $(N_1 + N_2)$ constantes. Os valores de N_1, V_1, N_2 e V_2 também são montados fixos. Mas as energias individuais E_1, E_2 agora podem variar (removemos as restrições sobre elas).

Como mencionado irei analisar o sistema todo, $A_1 + A_2$, como isolado e sobre o qual converge a variável macro energia total E_{12} (tb converge N_{12} e V_{12}). Assim irei usar a dist. de prob. uniforme para obter a dist. de prob. de ssist. A_1 e A_2 ter energias E_1 e E_2 (E_1 e E_2 são as variáveis livres).



Agora faremos uma importante e fundamental aproximação. Assumimos que a interação entre os sistemas é fraca tal que a energia total é a soma das energias individuais. Na realidade de fato

$$E_{12} = E_1 + E_2 + E_{\text{INTERACAO}} \approx E_1 + E_2$$

E_{12} só depende dos variáveis do sistema A_1 e A_2 , somente das variáveis de A_2 . Assumimos que $E_{\text{INT}} \ll E_1, E_2$. Note que por um lado deve existir uma interação para que ocorra troca de energia. Mas ela deve ser pequena a fim de permitir a aproximação acima (ela é ignorada nesta parte do formalismo matemático). Justifico tal aproximação rigorosamente não é trivial (e até onde sei é um problema não resolvido completamente).

Queremos obter a $\mathcal{P}(E_{12}, E_1)$: prob. de sistema A_2 ter energia entre E_1 e $E_1 + \delta E_1$ e do sist. total ter energia E_{12} (omitindo a dependência nas outras variáveis fixas).

Note que $\mathcal{P}(E_{12}, E_1)$ não depende da energia E_2 de A_2 . Isso porque E_1 e E_2 não são variáveis independentes pq que $E_1 + E_2 = E_{12}$ que é fixa. Ou seja dado E_1 temos que $E_2 = E_{12} - E_1$.

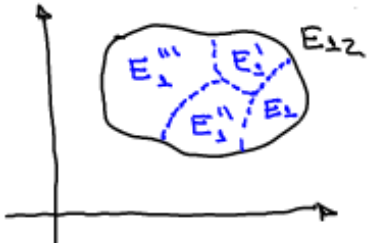
Usando que todos os microestados são equiprováveis temos

$$\mathcal{P}(E_{12}, E_1) = \text{const } \Omega_{12}(E_{12}, E_1)$$

↳ const. de normalização

$\Omega_{12}(E_{12}, E_1)$: # de microestados acessíveis ao sistema total ($A_1 + A_2$) quando A_1 tem energia tb depende de N_1, N_2 entre E_1 e $E_1 + \Delta E_1$

Pictoricamente temos (no espaço de fase ou de Hilbert)



As diferentes regiões delimitadas pelos links no espaço azul têm energia total entre E_{12} e $E_{12} + \Delta E_1$, mas o valor de E_1 pode mudar bastante entre as regiões: E_1 numa E_1' na outra e assim por diante.

Dentro de uma "região azul" o valor de E_1 pode variar microscopicamente de ΔE_1 . Mas entre regiões a variação é macroscópico.

O que queremos saber é a dist. de prob de o sistema ter energia E_1 .

Como cada microestado é equiprovável a prob. de achá-lo numa dada região é proporcional ao # de microestados daquela região. Na verdade, o volume da região dividido pelo volume total (soma dos volumes de todas regiões)

$$\text{Nó que const} = \Omega_{12}^{\text{TOTAL}}(E_{12}) = \sum_{E_1} \Omega_{12}(E_{12}, E_1)$$

Isso significa que a probabilidade é a soma sobre os possíveis valores da energia de A_1 tal que $E_1 + E_2 = E_{12}$

$$\text{Logo } \Omega(E_{12}, E_1) = \frac{\Omega_{12}(E_{12}, E_1)}{\Omega_{12}^{\text{TOTAL}}(E_{12})}$$

Então precisamos obter $\Omega_{12}(E_{12}, E_1)$.

A_1 tem energia E_1 e pode estar em qualquer um dos $\Omega_1(E_1)$ possíveis microestados. Ao mesmo tempo A_2 deve ter energia $E_2 = E_{12} - E_1$ e estar em um dos $\Omega_2(E_2)$ possíveis microestados.

Cada microestado de A_1 pode ser combinado com qualquer outro microestado de A_2 para dar um microestado diferente para $A_1 + A_2$.

Logo o # de microestados para A_{12} quando A_1 tem energia E_1 é

$$\Omega_{12}(E_{12}, E_1) = \Omega_1(E_1) \Omega_2(E_{12} - E_1)$$

Dese mencionar que aqui estamos assumindo que a interação além de não modificar muito a energia também não modifica muito os microestados que considerarmos ser os

mesmos de antes da interacão. Outro maneiro de ver essa approximação é que estamos considerando que não há correlações entre os sistemas. Isso, fico claro abaixo quando vemos que a prob. também será um produto dos probs. dos sistemas individuais (vimos que a $P(x_1, x_2) = P(x_1)P(x_2)$ só quando x_1 e x_2 são indep.). Existem casos onde a interacão é grande e não pode ser desprezada. Tais sistemas não podem ser analisados com o formalismo desenvolvido aqui.

Então temos

$$P(E_{12}, E_1) = \text{const} \underbrace{\mathcal{N}_1(E_1)}_{\substack{\text{prob. de } E_1 \\ \text{ter } E_1}} \underbrace{\mathcal{N}_2(E_{12}-E_1)}_{\substack{\text{prob. de } E_2 \\ \text{ter } E_2}}$$

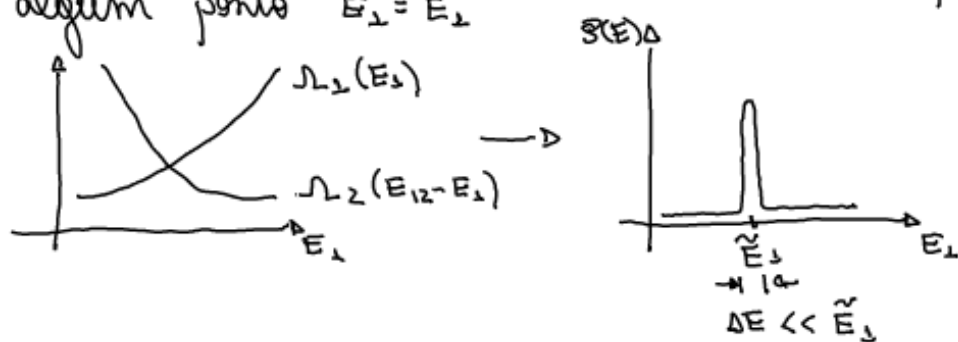
O próximo passo é analisar o comportamento de $P(E_{12}, E_1)$ com E_1 . Antes de uma análise mais cuidadosa vamos fazer uma discussão mais qualitativa. Lembramos que em geral para sistemas macroscópicos $\mathcal{N}(E)$ cresce rapidamente com E ($\mathcal{N}(E) \sim E^f$ com $f \approx 10^{23}$).

Logo

$\mathcal{N}_1(E_1)$ cresce rápido com E_1

$\mathcal{N}_2(E_{12}-E_1)$ decresce rápido com E_1

O produto $\mathcal{N}_1(E_1)\mathcal{N}_2(E_{12}-E_1)$ deve ter um pico extremamente fino em algum ponto $E_1 = \tilde{E}_1$



Note que ΔE está relacionado com flutuações: fornece a magnitude das flutuações típicas (que ocorrem com prob. razoável. flutuações muito maiores que ΔE são raras)

Por outro lado quanto mais rápido $\mathcal{N}_1(E_1)$ e $\mathcal{N}_2(E_1)$ crescerem e decrescerem menor será ΔE . Lembrando que $\mathcal{N}(E) \sim E^f$ com $f \approx 10^{23}$ p/ sist. macro pode-se esperar que ΔE será muito pequeno.

Como $P(E)$ varia muito rapidamente temos necessariamente analisar o seu log. Para obter o máximo temos

$$\frac{\partial \ln P}{\partial E_1} = \frac{1}{P} \frac{\partial P}{\partial E_1} = 0$$

Os máximos do $\ln P$ e P ocorrem no mesmo ponto

usamos derivada parcial já que todos os outros parâmetros são fixos

Poderíamos usar diretamente $\frac{\partial \tilde{S}}{\partial E_1} = \frac{\partial \tilde{R}_1}{\partial E_1} R_2 + R_1 \frac{\partial \tilde{R}_2}{\partial E_1} = 0$
 $= \frac{1}{R_1} \frac{\partial R_1}{\partial E_1} + \frac{1}{R_2} \frac{\partial R_2}{\partial E_1} = 0$ Mas $\frac{1}{R_2} \frac{\partial R_2}{\partial E} = \frac{\partial \ln R_2}{\partial E}$
ou seja é equilíbrio. Mas é mais conveniente trabalhar com o log direto.

Voltando a análise, temos

$$\ln \tilde{S} = \ln \text{const} + \ln R_1(E_1) + \ln R_2(E_2)$$

Assim

$$\frac{\partial \ln R_1(E_1)}{\partial E_1} + \underbrace{\frac{\partial \ln R_2(E_2)}{\partial E_2} \left(\frac{\partial E_2}{\partial E_1} \right)}_{=1} = 0$$

Agora definimos

$$\beta(E) \equiv \frac{\partial \ln R(E)}{\partial E}$$

E teremos

$$\beta_1(\tilde{E}_1) = \beta_2(\tilde{E}_2)$$

Determinamos o valor de E_1 onde $\beta(E_1)$ é máximo; ou seja o valor mais provável para a energia do A₁.

Note que $\beta_1(E_1)$ é uma propriedade (microscópica) do sistema A₁ e está relacionada a como o # de microestados acessíveis varia com a energia. O mesmo se vê de p/ $\beta_2(E_2)$ e o sistema 2.

Por outro lado como $\tilde{S}(E_1)$ está altamente concentrado em termos de \tilde{E}_1 , é muito provável que encontremos o sistema A₁ com energia \tilde{E}_1 . Isso sugere um estado de equilíbrio. De fato o estado de eq. deve ser aquele onde é mais provável encontrar o sistema e esperamos que as flutuações (prob. de encontrar em certas energias) sejam pequenas.

Formalmente em termo dinâmico definimos a temperatura de um sistema como uma propriedade tal que quando dois sistemas estão em eq. suas temp. são iguais: $T_1 = T_2$

E' semelhante as que temos acima com β . No eq. $\beta_1(\tilde{E}_1) = \beta_2(\tilde{E}_2)$

Isso sugere que a propriedade microscópica β de um sistema deve estar relacionada com a T

Teríamos assim um primeiro link entre a física macro e a micro. Na verdade só fizemos o link entre equilíbrio termo dinâmico e o estado mais provável

Note que para fazer esse link encontrando relações entre quantidades microscópicas que se parecem com as relações entre quantidades macroscópicas é a "única" maneira de achar o equivalente a T microscópicamente. Isso porque a T não é uma propriedade mecânica, como a pressão: mas podemos fazer um modelinho mecânico para o observável temp.

Um outro observável para qual não temos um modelo mecânico é a entropia! Sabemos que há uma função de estado que se chama entropia e que se relaciona com T da forma $T = \frac{\partial E}{\partial S}$. Mas não temos uma ideia de qual seu origem microscópico.

Assim tb temos que obter seu equivalente microscópico procurando grandezas microscópicas que obedecam relações semelhantes às obedecidas pelo entropio.

Um outro caminho é postular uma forma microscópica para a entropia e ver que as relações termodinâmicas são satisfeitas.

Já havíamos sugerido, ao analisar o que ocorre quando retirarmos restrições sobre alguns parâmetros, uma relação entre entropia, e o número de microestados acessíveis.

Além disso associamos o estado de equilíbrio, com o mais provável. Sabemos que o primeiro é um estado de entropia máxima enquanto o outro ocorre para prob. máxima que vem de um máximo em $\ln \Omega$. Isso tb sugere uma relação entre S e $\ln \Omega$.

Logo intuímos uma definição para entropia em termos microscópicos:

$$2^{\text{a}} \text{ postulado de} \quad \leftarrow S \equiv k_B \ln \Omega \quad k_B: \text{constante de Boltzmann}$$

Esse link entre entropia, então um grande termo dinâmico $\Omega(E)$, e a física microscópica e probabilística foi feita pelo primeiro vez por Boltzmann. No entanto ele nunca escreveu a fórmula acima dessa forma com a constante k , apesar de ela estar escrita em seu trabalho. A constante foi no final de introduzida por Planck na seu trabalho sobre a radiação de corpos negros grande tb introduzindo a constante h .

Com essa definição temos

$$\beta(E) = \frac{1}{k_B} \frac{\partial S}{\partial E}$$

$$\text{Na forma dinâmica temos} \quad T = \frac{\partial E}{\partial S}$$

Logo a conexão entre quantidades microscópicas e macroscópicas

$$\beta = \frac{1}{k_B T}$$

mícras \rightarrow macro

É a condição p/ prob. máx, ou seja, estado mais provável é o

$$\ln P(E_1) = \ln \Omega_1(E_1) + \ln \Omega_2(E_2) = \text{máximo}$$

$$\rightarrow S_1 + S_2 = \text{máximo}$$

Que ocorre quando

$$\beta_1(\tilde{E}_1) = \beta_2(\tilde{E}_2)$$

\Downarrow

$$T_1 = T_2$$

\rightarrow O estado mais provável é aquele onde os temp são iguais, que é a condição de eq. térmica do termodinâmico.

Assim usando a def. de entropia $K_B \ln \Omega$, vemos que a maximização da probabilidade corresponde a maximização da entropia termodinâmica.

Conseguimos recuperar resultados do termodinâmico a partir do físico estatístico.

Como $P(E_1)$ tem um pico muito fino em torno de E_1 . Assim não só uma prob. muito grande de A_1 ter energia \tilde{E}_1 como seu energ. médio não é nem blz ser $\tilde{E}_1 \approx E_1$

São esses valores mais prováveis que identificamos com as condições termodinâmicas em equilíbrio

Há casos principais

1) As energias iniciais dos sistemas são tal que $\bar{E}_{1i} = \tilde{E}_1$ e assim a condição de máx prob. (ou entropia) já está satisfeita e o sistema se mantém em equilíbrio sem ocorrer troca de energia (calor) entre os sistemas

2) Em geral $\bar{E}_{1i} \neq \tilde{E}_1$ e os sistemas estão em estados pouco prováveis de não eq. Os sistemas irão trocar energia (calor) até que as situações de máx prob. (ou entropia) ocorram com $\bar{E}_{1f} = \tilde{E}_1$ e $\beta_{1f} = \beta_{2f}$

Note tb que o fato de $\Omega_{12} = \Omega_1 \Omega_2$ é o que $S_{12} = S_1 + S_2$ → entropia é aditiva

Pode-se mostrar que o valor de S não depende do SE no limite $N \rightarrow \infty$
($P \rightarrow 0$ eit)

Assum obtemos quantidades microscópicas para termoporturas e entropia. Temos uma maneira de calcular essas quant. a partir de um modelo microscópico.

5.2) Escala Absoluta de Temperatura

Em referência a T lembraremos que em termos dinâmicos ele pode ser bem definido como uma propriedade comum a dois sistemas livres. Primeiro fixa a dificuldade de associar um valor numérico a temperaturas, ou seja, definir uma escala p/ T.

Em geral isso é feito medindo alguma outra propriedade do sistema que muda quando ele troca calor com outros p/ adquirir o eq.. Pode-se medir a pressão de um gás por exemplo e usar isso como escala p/ T. Ou o comportamento de um bloco de metal

O problema com tais escalas é que elas dependem não só de que qual propriedade é usada mas tb da sistema específico usado! No caso de termômetros de gás a volume constante a escala de T obtida depende de que gás é usado. E somente no limite de baixas concentrações onde o modelo de gás ideal é válido que a escala se torna "absoluta"

O conceito de temp. que obtivemos aqui tem a vantagem de não depender de propriedades particulares do sistema usado como termômetro.

$\beta = \frac{\partial \ln \Omega}{\partial E}$ é uma propriedade do sistema. Assum se um dado termômetro (n) está em eq. com A $\rightarrow \beta_n = \beta_A$. Se alguém usa um outro termômetro (n') este tb irá "manter" $\beta_{n'} = \beta_A$ quando em eq. com A.

Ou seja, qualquer termômetro irá fornecer o mesmo valor p/ β e portanto para T.

Assim chama-se $T = \frac{1}{k_B \beta}$ a temp. absoluta

Vemos tb que T é naturalmente medida em unidades de energia. Mas historicamente usamos outras unidades e pra isso precisamos do const k_B para fazer a conversão. Se medissemos T em energia então S seria adimensional

5.3) Temperaturas negativas

Temos que $\beta = \partial \ln \Omega / \partial E$. Logo se Ω sempre aumenta com E, temos $\beta > 0$ e $T > 0$.

Mas em alguns casos o sistema pode ter uma energia máxima. Isso em geral ocorre quando não levamos em conta a energia cinética que não tem limite superior. Um exemplo, serio N spins $1/2$ num campo magnético localizado (sem energia cinética). Neesses casos existe um valor de energia acima do qual $\Omega(E)$ começo a diminuir com E e teríamos T negativos (é mais preciso serio dizer que a T de spin é < 0 já que se deve aos grados de liberdade

de spin). Nestes casos onde a T pode ser < 0 a temp. inicialmente e > 0 e vai aumentando conforme se fornece energia ao sistema. Elas vão tendendo a $+ \infty$ e depois, se temos $= \infty$ e vão tendendo a 0° conforme mais energia é adicionada. Assim se costuma dizer que sistemas com $T < 0$ estão "mais quentes" do que com a $T > 0$. Veremos isso com mais detalhes em um exemplo.

5.4) Escolha de energia $K_B T$

E' comum usar $K_B T$ como uma escolha de energia em argumentos qualitativos. Mas qual é significado disto?

Vemos que $\mathcal{L}(E) \propto E^f$ com $f = \#$ de grupos de liberdade e E medida a partir da menor energia possível.

Assim

$$\ln \mathcal{L} \approx f \ln E + \text{const.}$$

No equilíbrio $E = \bar{E} = \bar{E}$ (iremos ver que \bar{E} é igual a médio)

$$\beta = \frac{\partial \ln \mathcal{L}}{\partial E} \approx \frac{f}{\bar{E}}$$

Logo

$$K_B T \approx \bar{E}/f$$

A quantidade de $K_B T$ é uma estimativa da energia média por grupo de liberdade do sistema em eq. a temp. T .

Este resultado é análogo ao de teoria cinética dos gases onde se obtém que T é um medida da energia cinética média por partícula. Premi aqui ele é mais geral levando em conta outros grupos de liberdade além de translacão.

Note que no eq.

$$\beta_1 = \beta_2 \rightarrow K_B T_1 \approx K_B T_2 \rightarrow f_1/\bar{E}_1 \approx f_2/\bar{E}_2$$

No eq. a energia total é dividida de maneira que a energia média por grupo de liberdade de cada sistema seja igual (a energia total de cada um pode, e em geral é, diferente)

Um exemplo simples do uso de $K_B T$ é considerar N partículas quânticas num caixa. Os níveis de energia sendo E_0, E_1, \dots . A temperatura zero dizem que as N partículas estão no estado E_0 (se houver um único microestado compatível com todos em E_0). Se colocarmos o sistema em contato com um banho térmico a temp. T ele irá receber energia até atingir a temp. T . Nesta situação temos um conjunto finito de microestados compatíveis: todos com a mesma energia total mas com \neq valores para as energias de cada partícula. Dizemos que em médio cada partícula tem energia $K_B T$ (como veremos a estimativa correta é $3/2 K_B T$ p/ partículas livres em 3D e sem spin)

A energia de cada partícula está flutuando e depende do microestado em que o sistema se encontra. Em geral dizemos que se $K_B T \ll E_1 - E_0$, as partículas continuam no estado fundamental E_0 : as "flutuações térmicas" não conseguem "jogar" (excitar) o sistema para o nível E_1 . Mas se $K_B T \gg E_1 - E_0$ esperamos encontrar partículas em E_1 : elas foram "jogadas" lá pelas "flutuações térmicas".

O termo flutuações térmicas se refere ao fato de que o microestado não está "fixo", mas há 52 possíveis microestados. O sistema está evoluindo (" pulando") de um microestado para outro com um médio $K_B T$ de energia por grau de liberdade.

5.5) Análise + rigorosa de $\bar{S}(E_L)$

Vamos estudar agora com mais cuidado quais concentrações é a dist. de prob. $\bar{S}(E_L)$

O ideal é similar a usado no caso do passeio aleatório para obter a gaussiana

Temos expandir $\ln \bar{S}(E_L)$ em torno da máxima $E_L = \tilde{E}_L$. Para isso expandirmos $\mathcal{J}_{L_1}(E_L)$ e $\mathcal{J}_{L_2}(E_L)$

$$\ln \mathcal{J}_{L_1}(E_L) = \ln \mathcal{J}_{L_1}(\tilde{E}_L) + \left(\frac{\partial \ln \mathcal{J}_{L_1}}{\partial E_L} \right)_{\tilde{E}_L} \eta + \frac{1}{2} \left(\frac{\partial^2 \ln \mathcal{J}_{L_1}}{\partial^2 E_L} \right)_{\tilde{E}_L} \eta^2 + \dots$$

$$\text{com } \eta = E_L - \tilde{E}_L$$

$$\text{usamos a definição } \beta = \frac{\partial \ln \mathcal{J}}{\partial E}$$

$$\text{e introduzimos } \lambda = - \frac{\partial^2 \ln \mathcal{J}}{\partial^2 E} = - \frac{\partial \beta}{\partial E}$$

colocamos o sinal - pq viremos que a derivada segue os negativos

Assum termos

$$\ln \mathcal{J}_{L_1}(E_L) = \ln \mathcal{J}_{L_1}(\tilde{E}_L) + \beta_1 \eta - \frac{1}{2} \lambda_1 \eta^2 + \dots$$

$$\ln \mathcal{J}_{L_2}(E_L) \text{ é expandido tb em torno de } \tilde{E}_2 \text{ e lembrando que } E_{12} = E_1 + E_2 \text{ temos} \\ \tilde{E}_2 - \tilde{E}_L = E_{12} - \tilde{E}_1 - (E_{12} - \tilde{E}_2) \\ = - (E_L - \tilde{E}_2) = - \eta$$

Assim

$$\ln \mathcal{J}_{L_2}(E_L) \approx \ln \mathcal{J}_{L_2}(\tilde{E}_2) + \beta_2 (-\eta) - \frac{1}{2} \lambda_2 (-\eta)^2 + \dots$$

Somando as duas eq.s temos

$$\ln [\mathcal{J}_{L_1}(E_L) \mathcal{J}_{L_2}(E_L)] = \ln [\mathcal{J}_{L_1}(\tilde{E}_L) \mathcal{J}_{L_2}(\tilde{E}_2)] + (\beta_2 - \beta_1) \eta - \frac{1}{2} (\lambda_1 + \lambda_2) \eta^2 + \dots$$

No máximo $E_L = \tilde{E}_2 \rightarrow \beta_1 = \beta_2$ e o termo linear é nulo como esperado já que expandimos em torno da max.

Então

$$\ln \bar{S}(E_L) = \ln \bar{S}(\tilde{E}_L) - \frac{1}{2} \lambda_0 \eta^2 \text{ com } \lambda_0 = \lambda_1 + \lambda_2$$

$$\bar{S}(E_L) = \bar{S}(\tilde{E}_L) e^{-\frac{\lambda_0}{2} (E_L - \tilde{E}_L)^2}$$

\Rightarrow gaussiana com média \tilde{E}_L e variância $1/\lambda_0$

Notar que λ_0 tem que ser positivo p/ que $\bar{S}(E)$ tenha um máximo ou seja p/ que o sistema $A_1 + A_2$ atinja o equilíbrio. É uma condição para a "estabilidade" do termo dinâmico

Sec. 3.7, Reif

Além disso λ_1 e λ_2 tb têm que ser positivos. Alguém sempre pode escolher um sistema λ_2 tal que $\lambda_2 \gg \lambda_1$ e assim $\lambda_0 \approx \lambda_2$ e portanto $\lambda_2 > 0$. O mesmo vale p/ λ_1 .

Por outro lado

$$\lambda = -\frac{\partial \beta}{\partial E} = -\frac{\partial \beta}{\partial T} \frac{\partial T}{\partial E} = -\left(-\frac{1}{KT^2}\right) \frac{\partial T}{\partial E}$$

$$= \frac{1}{KT^2} \frac{\partial T}{\partial E}$$

Então $\lambda \geq 0$ é equilíbrio, a $\partial T / \partial E \geq 0$: a temperatura (absoluta) deve aumentar com a energia. Isso tb é uma condição para a estabilidade do termodinâmico (se T diminuir com a energia um corpo "frio" em contato com outro quente iria continuar diminuindo de temp. enquanto o quente iria aumentar, nunca havendo eq). Com os dois a mesma temp.). Na verdade no equilíbrio $\partial T / \partial E = 1/C_V$ com C_V o calor específico a volume constante. Assim $C_V \geq 0$

Voltando a $\beta(E_\perp)$, mostramos que para E_\perp não muito distante de \bar{E}_\perp , $\beta(E_\perp)$ é bem descrita por uma gaussiana cujo médio é \bar{E}_\perp , ou seja

$$\bar{E}_\perp = \tilde{E}_\perp$$

E temos que a $\beta(E_\perp)$ se torna muito pequena p/ $\frac{\lambda_0(E_\perp - \bar{E}_\perp)^2}{2} \gg 1$

A variância da gaussiana é

$$\Delta E_\perp = \frac{1}{\sqrt{\lambda_0}}$$

Supõe que $\lambda_1 \gg \lambda_2$ então

usando $\lambda_1 \propto E_1^{f_1}$ temos que $\lambda_2 \approx \frac{\lambda_0}{\partial E_\perp^2} (f_1 E_1) \approx \frac{\partial^2}{\partial E_\perp^2} \left(\frac{f_1}{E_1} \right) \approx \frac{f_1}{\bar{E}_\perp^2}$

Pontanto

$$\Delta E_\perp \approx \frac{\bar{E}_\perp}{\sqrt{f_1}}$$

A variância fracional (relativa) é

$$\frac{\Delta E_\perp}{\bar{E}_\perp} \approx \frac{1}{\sqrt{f_1}}$$

Já qd p/ $f_1 \approx N_\perp \times 10^{24}$ temos $\frac{\Delta E_\perp}{\bar{E}_\perp} \approx 10^{-12}$ uma variância extremamente pequena

$\beta(E_\perp)$ se torna desprezível se a energia difere de seu valor médio p/ mai que uma parte em $10^{-12}!!$

Assim obtemos um dos principais característicos de sist. macroscópicos

tb posso usar que $\Delta E^2 \sim [\partial^2 S / \partial E^2]^{-1}$
e como S e E são extensivos ($\sim N$)
então $\partial^2 S / \partial E^2 \sim N / N^2 \sim 1/N$. Logo
 $\Delta E^2 \sim N$ e $\Delta E / E \sim 1/\sqrt{N}$

→ Flutuações em parâmetros macroscópicos são totalmente insignificantes

Um observador quase sempre mede o valor E_1 (ou \bar{E}) e/ou outros parâmetros) e não se dá conta dos aspectos estatísticos.

As flutuações só se tornam aparentes com medições muito precisas (mais que 1 parte em 10^{12}) ou para sistemas muito pequenos. Como anteriormente assumimos que a interação é pequena é interessante notar tb que as flutuações estão relacionadas a C_V que é a resposta do sistema a uma perturbação (como a T muda quando adiciono calor). Essa resposta quando perturba o sistema está relacionada a flutuações quando o sistema está em equilíbrio. É um tipo de relação "flutuações-resposta". Com ela podemos medir C_V através das flutuações ou obter informação sobre as flutuações medindo C_V . Essas relações podem ser estabelecidas de modo mais geral no que é chamado de "teoria da resposta linear"

5.6) Exemplo: gás ideal e interações (Exemplo 1 do termodinâmico (Cap. 4 de Salinas))

Temos 2 sistemas de gás ideal cada um com seu energia bem definida (E_1 e E_2) e que começam a entregar termicamente o sistema todo está isolado e $E_1 + E_2$ é constante

Sabemos que para N grande e suficiente o número de microestados com energia entre E e $E+dE$ de um gás ideal é dada por

$$\Omega(E) = C E^{3/2 N}$$

↳ constante que depende de m, V, N

Assim

$$\Omega(E_1) \sim \Omega_1(E_1) \Omega_2(E_2)$$

$$\ln \Omega(E_1) = \ln(\text{const}) + \ln \Omega_1 + \ln \Omega_2$$

$$= \ln(\text{const}) + \frac{3}{2} N_1 \ln E_1 + \frac{3}{2} N_2 \ln E_2$$

$$\frac{\partial \ln \Omega(E_1)}{\partial E_1} = \frac{3}{2} \frac{N_1}{E_1} - \frac{3}{2} \frac{N_2}{E_2}$$

↳ porque $\frac{\partial}{\partial E_1} = -\frac{\partial}{\partial E_2}$ pq $E_1 + E_2 = \text{const}$

A condições de equilíbrio onde $\Omega(E_1)$ é maximo

$$\frac{\tilde{E}_1}{N_1} = \frac{\tilde{E}_2}{N_2} \rightarrow \text{entropia por partícula é igual}$$

Usando a def. de entropia $S = k_B \ln \Omega$ temos

$$\frac{\partial \ln \Omega(E_1)}{\partial E_1} = \frac{1}{k_B} \frac{\partial S}{\partial E_1} = \frac{1}{k_B T_1} = \frac{3}{2} \frac{N_1}{E_1}$$

Identificamos a energia mais provável \tilde{E}_1 com a energia interna das gás E_1 . No equilíbrio temos

$$\frac{\partial \ln S(E_1)}{\partial E_1} = \frac{\partial \ln S(E_2)}{\partial E_2}$$

$$\frac{1}{k_B T_1} = \frac{3N_1}{2V_1} = \frac{1}{k_B T_2} \frac{3N_2}{2V_2}$$

Ou seja as temp. são iguais como esperado.

Vamos verificar que $S(\tilde{E}_1)$ é um máximo

$$\begin{aligned} \frac{\partial^2 \ln S(E_1)}{\partial E_1^2} &= -\frac{3}{2} \frac{N_1}{E_1^2} - \frac{3}{2} \frac{N_2}{E_2^2} \\ &= -\frac{3}{2} \left(\frac{N_1}{E_1} \frac{1}{E_1} + \frac{N_2}{E_2} \frac{1}{E_2} \right) \end{aligned}$$

$$\text{No eq. } N_1/E_1' = N_2/E_2' \quad \& \quad \tilde{E}_1 = 3/2 N_1 k_B T_1$$

$$\begin{aligned} \left. \frac{\partial^2 \ln S(E_1)}{\partial E_1^2} \right|_{\tilde{E}_1} &= -\frac{3}{2} \frac{N_1}{\tilde{E}_1} \left(\frac{\tilde{E}_2 + \tilde{E}_1}{\tilde{E}_1 \tilde{E}_2} \right) \\ &= -\frac{3}{2} \frac{1}{3/2 k_B T_1} \left[\frac{3/2 k_B (N_1 T_1 + N_2 T_2)}{(3/2 k_B)^2 N_1 T_1 N_2 T_2} \right] \quad ; \quad T_1 = T_2 = T \\ &= -\frac{2}{3} \frac{1}{k_B^2} \frac{N_1 + N_2}{T^2 N_1 N_2} < 0 \end{aligned}$$

O que mostra que de fato temos um máximo.

Agora vamos obter a forma de $S(E_1)$ usando a expansão de Taylor em torno do máx \tilde{E}_1

$$\ln S(E_1) = \text{const} + \frac{1}{2!} \left[-\frac{2}{3} \frac{N_1 + N_2}{k_B^2 T^2 N_1 N_2} \left(E_1 - \frac{3}{2} N_1 k_B T \right)^2 \right] + \dots$$

\hookrightarrow e $\ln S(\tilde{E}_1)$ mas não precisamos nos preocupar pq pode ser obtido normalizando $S(E_1)$ depois

Assim

$$S(E_1) = A \exp \left[-\frac{1}{3} \frac{N_1 + N_2}{k_B^2 T^2 N_1 N_2} \left(E_1 - \frac{3}{2} N_1 k_B T \right)^2 \right] + \dots$$

\hookrightarrow tb pode ser obtido normalizando $S(E_1)$

\hookrightarrow temos uma gaussiana!

Formalmente temos que obter o termo de 3º ordem e mostrar que é muito menor que o de 2º ordem para usar a aprox. gaussiana; como fizemos no caso da passagem aleatória. Mas aqui viemos somente argumentar que o termo de 2º ordem é pequeno.

Pode-se calcular o valor médio e' menor que

$$\langle E_1 \rangle_{G_1} = \frac{3}{2} N_1 K_B T$$

O desvio é:

$$\langle \Delta E_1^2 \rangle_{G_1} = \frac{3 K_B^2 T^2 N_1 N_2}{2 (N_1 + N_2)}$$

e

$$\frac{\sqrt{\langle \Delta E_1^2 \rangle}}{\langle E_1 \rangle} = \sqrt{\frac{2}{3} \frac{N_2}{N_1 (N_1 + N_2)}} \xrightarrow{N_1, N_2 \rightarrow \infty} 0$$

Como havíamos argumentado no caso geral, vemos que as flutuações são extremamente pequenas para sistemas macro. Isso justifica a identificar o valor médio da energia e a energia interna da termodinâmica.

Agora vamos adicionar um próximo passo que daremos. Já sabemos o estado de eq. de cada gás. Assim podemos usar a conexão micro-macro do entropia para obter todos os grandeços termodinâmicos.

Para qualquer um dos gases, temos

$$\ln S = \ln C + \frac{3}{2} N \ln E$$

Usando que $S = k_B \ln S$ obtemos

$$S = k_B \ln C + \frac{3}{2} k_B N \ln E$$

Usando $\partial S / \partial E = 1/T$ temos

$$\Delta S = \frac{\Delta S}{T}$$

$$\frac{\frac{3}{2} k_B N}{E} = \frac{1}{T}$$

No equilíbrio identificamos E com a energia interna U, logo na eq. temos

$$U = \frac{3}{2} N K_B T$$

Onde é um eq. de estado dos gases ideais

Disse pode-se obter o calor específico a volume constante

$$C_V = \frac{\partial U}{\partial T} = \frac{3}{2} N K_B$$

que está de acordo com dados experimentais para gases monoatômicos. $C_V = (3/2) N R$

Conseguimos assim obter as grandeças macro das termo e rotacionais entre elas a partir da informação microscópico contida em S e como elas variam com os parâmetros externos.

5.7) Intercâncias Térmicas e Mecânicas

Sec 3.9 Ref
4.2 salvo

Já vimos considerar agora o caso onde os dois sistemas A_1, A_2 também podem interagir mecanicamente realizando trabalho um sobre o outro.

Sistemas A_1 tem energia E_1 e é caracterizado por alguns parâmetros externos y_1, y_2, \dots, y_m . O mesmo p/ A_2 que tem parâmetros externos x_1, x_2, \dots, x_n . Pode ser o volume ou número de partículas, ... O sistema todo está isolado: $E_1 + E_2 = E_{\text{total}} = \text{const.}$

A_1 e A_2 podem interagir mecanicamente: os parâmetros y de A_1 são funções dos parâmetros x de A_2 .

↳ Exemplo: o parâmetro em que interagem é o volume. Se o volume total é constante

$$V_1 + V_2 = V_{\text{total}} = \text{const} \rightarrow V_1 \text{ é função de } V_2$$

Assumir o número de microestados é função da energia e dos parâmetros externos

$$\mathcal{N}_1(E_1, y_1, \dots, y_m) \rightarrow \mathcal{N}_{12}(E_1, y_1, \dots, y_m)$$

$$\mathcal{N}_2(E_2, x_1, \dots, x_n)$$

↳ $\ln \mathcal{N}_{12}$ depende de x_1, \dots, x_n
pois são funções de y_1, \dots, y_m

Vemos que $\mathcal{N}_{12}(E_1, y_1, \dots, y_m)$ tb tem um máximo com um pico fino para algum valor de $E_1 = \bar{E}_1$ e $y_A = \bar{y}_A$ e a situação de eq. corresponde a esse máx., onde todos os sistemas do ensemble tem $E_1 = \bar{E}_1$ e $y_A = \bar{y}_A$.

Antes de analisar qual é esse eq. vamos supor que o sist. A_2 está em eq. e devido a alguma interação é levado num processo quase-estático a um outro estado de eq. final levemente diferente do original.

O mudanço é em $\ln \mathcal{N}_1$ será

$$d \ln \mathcal{N}_1 = \frac{\partial \ln \mathcal{N}_1}{\partial E_1} d\bar{E}_1 + \sum_{a=1}^n \frac{\partial \ln \mathcal{N}_1}{\partial y_a} dy_a$$

↳ mudanço quando A_1 vai de \bar{E}_1, \bar{y}_A para $\bar{E}_1 + d\bar{E}_1, \bar{y}_A + dy_A$

$$\text{Podemos escrever } \frac{\partial \ln \mathcal{N}_1}{\partial y_A} = - \frac{\partial \ln \mathcal{N}_1}{\partial E_1} \frac{\partial E_1}{\partial y_A} = \beta \left(- \frac{\partial E_1}{\partial y_A} \right)$$

Note o sinal -. acima. Ou seja não é um gráfico simples. Na verdade a expressão acima é uma aproximação válida para sistemas macroscópicos. Note tb que temos o valor médio de $\partial E_1 / \partial y_A$. Isso pq há várias microestados (outros estados de energia) no regime $\mathcal{N}_1 \gg 1$

um termo com valor distinto para $\partial E / \partial y_\alpha$ e termos que levar em conta essa diferença que estamos desconsiderando (Veja sec. 3.8 da Reit).

Agora lembramos que em termo dinâmico temos um sistema cujo energia depende dos parâmetros externos (e internos)

$E(y_1, \dots, y_n)$
num processo quasi-estático onde os parâmetros y_k são variados por valores infinitesimalmente temos que a variação em energias é

$$\Delta E = \sum_{\alpha=1} \frac{\partial E}{\partial y_\alpha} dy_\alpha$$

O trabalho feito pelo sistema nesse processo (considerando que ele se mantém no mesmo estado químico de energia E)

$$dW = -\Delta E = \sum Y_\alpha dy_\alpha \rightarrow \text{sinal - pq é W feito pelo sistema}$$

Assim introduzimos uma "força generalizada" $Y_\alpha = -\frac{\partial E}{\partial y_\alpha}$. Note que se y_α é uma distância então Y_α é a força usual.

Quando variarmos o volume de um gás temos $dW = p dV$ e logo $p = -\partial E / \partial V$: pressão é a força generalizada conjugada ao volume V . Se variarmos o # de partículas N temos $dW = \mu dN$ com $\mu = \partial E / \partial N$ sendo o potencial químico. Y_α e Y_β são variáveis conjugadas: uns delas é intensivo e a outro extensivo. Outro exemplo é entropia e temp.

Então conectamos o valor médio de $\partial E / \partial y_\alpha$, que aparece em $d\ln \Omega$, com a derivada da energia interna (no equilíbrio)

$$\overline{(\partial E / \partial y_\alpha)} = \partial E / \partial y_\alpha \rightarrow \text{mais uma conexão entre pressão e as forças generalizadas.}$$

$$\overline{Y_\alpha} = Y_\alpha$$

Poderemos escrever como

$$\underbrace{\frac{1}{\beta} \frac{d\ln \Omega}{dy_\alpha}}_{\text{micro}} = Y_\alpha \rightarrow \underbrace{\text{macro}}$$

$$\boxed{\text{p/ a pressão temos}} \\ p = \frac{1}{\beta} \frac{d\ln \Omega}{dV}$$

Voltando a massa expressão p/ $d\ln \Omega$ e usando conexões acima temos

$$d\ln \Omega_1 = \beta_1 (\Delta E_1 + \sum Y_\alpha dy_\alpha)$$

Da discussão anterior, $\sum Y_\alpha dy_\alpha$ deve ser o trabalho macroscópico feito pelo sistema

$$d\ln \Omega_1 = \beta_1 (\Delta E_1 + dW_1) \equiv \beta_1 dQ_1 \rightarrow \text{definir calor como a energia que não veio de mudanças nos parâmetros externos}$$

Lp Eq. válido p/ qualquer processo (involvendo interações térmicas e mecânicas) quasi-estático infinitesimal

Usando a definição de entropia $dS = k_B d\ln \Omega_1$ temos

$$\frac{dS_1}{k_B} = \frac{1}{k_B T_1} dQ_1 \rightarrow dS_1 = \frac{dQ_1}{T_1}$$

Assum obtemos a relocação de entropia do termodinâmico (de Clausius) para processos quase-estáticos onde os parâmetros são variados lentamente.

Iremos analisar agora a situação de equilíbrio onde os parâmetros externos variados são somente o volume $V_1 + V_2$ dos dois sistemas. Notadamente supomos que a interação seja fraca de tal modo que

$$\mathcal{L}_{12}(E, V) = \mathcal{L}_1(E_1, V_1) \mathcal{L}_2(E_2, V_2)$$

e queremos obter o estado de maior probabilidade que corresponde a uma máx p/ \mathcal{L}_{12} que é determinado por

$$d\ln \mathcal{L}_{12}(E, V) = d\ln \mathcal{L}_1(E_1, V_1) + d\ln \mathcal{L}_2(E_2, V_2) = 0$$

para mudanças arbitrárias nos volumes e energias dos sistemas 1 e 2

Para o sistema 1 temos

$$\begin{aligned} d\ln \mathcal{L}_1 &= \frac{\partial \ln \mathcal{L}_1}{\partial E_1} dE_1 + \frac{\partial \ln \mathcal{L}_1}{\partial V_1} dV_1 \\ &= \beta_1 dE_1 + \beta_1 p_1 dV_1 \end{aligned}$$

Para 2 termos

$$d\ln \mathcal{L}_2 = \beta_2 dE_2 + \beta_2 p_2 dV_2$$

Usando a conservação de energia e volume do sistema total

$$\begin{aligned} E_{12} &= E_1 + E_2 = \text{const} \rightarrow dE_1 + dE_2 = 0 \\ V_{12} &= V_1 + V_2 = \text{const} \quad dV_1 + dV_2 = 0 \end{aligned}$$

temos

$$d\ln \mathcal{L}_2 = -\beta_2 dE_2 - \beta_2 p_2 dV_2$$

A condição para o máximo fica

$$\begin{aligned} \beta_1 dE_1 + \beta_1 p_1 dV_1 - \beta_2 dE_2 - \beta_2 p_2 dV_2 &= 0 \\ (\beta_1 - \beta_2) dE_1 + (\beta_1 p_1 - \beta_2 p_2) dV_1 &= 0 \end{aligned}$$

Isso só pode ser satisfeita para qualquer valor de dE_1 , dV_1 se

$$\left\{ \begin{array}{l} \beta_1 - \beta_2 = 0 \\ \beta_1 p_1 - \beta_2 p_2 = 0 \end{array} \right. \rightarrow \left\{ \begin{array}{l} \beta_1 = \beta_2 \\ p_1 = p_2 \end{array} \right.$$

Logo no equilíbrio os dois sistemas têm temperaturas e pressões iguais. Aqui também esperamos que os valores de p_1 e p_2 não fluctuem muito tal como as temperaturas T_1 e T_2 . Ou, seja a dist. de prob. têm um máximo, provável.

Pode-se fazer uma análise similar para os outros tipos de parâmetros e tb se obtém a situação de equilíbrio.

5.8) Límite Termodinâmico

Ficou clara que nessa descrição estatística de sistemas macroscópicos melhor a medida que o sistema aumenta de tamanho. De fato, do ponto de vista matemático é interessante tratar o caso limite de $N \rightarrow \infty$, onde as flutuações tendem a zero.

No entanto nesse sistema tanto a energia E como a entropia S tb irão tender ao infinito (são grandeços extensivos). Portanto nesse limite devemos olhar o sistema em termos da densidade de energia (E/N), da densidade de entropia (S/N) e do volume por particulas (V/N)

Assim temos o conhecido limite termo dinâmico onde temos o limite $N \rightarrow \infty$, mas com E/N , S/N e V/N fixos.

Note que nem sempre esse limite existe. Para alguns sistemas, como um gás de e- com interações de Coulomb que, só longe o suficiente, temos que $E/N \rightarrow \infty$; não se mantém fixa.

É importante salientar tb que as conexões entre grandeços microscópicos e macroscópicos só podem ser estabelecidos no limite termo dinâmico. É somente neste limite que as flutuações tendem a zero e podemos associar o estado de eq. com o estado mais provável.

Além disso, somente nesse limite que as grandeços definidos, como $K_B \ln \Omega$, não dependem de detalhes do modelo termo dinâmico, usado como as condições de contorno e valor de SE ou de $\delta E \delta p$. É neste limite que grandeços, como $S = K_B \ln \Omega$, se tornam funções homogêneas e extensivas como requer a termo dinâmico. Isso ficou mais claro em alguns exemplos que faremos depois.

Portanto a conexão macro-micro a ser feita é

$$S = \lim_{N \rightarrow \infty} \frac{S}{N} = \lim_{N \rightarrow \infty} \frac{K_B \ln \Omega}{N}$$

Vamos olhar com mais cuidado para a extensividade da entropia. Primeiro o uso de \ln nas definições da entropia é motivado pelo fato de que a entropia de sistemas independentes segue a soma das entropias de cada um. Ou seja p/ dois sistemas não interagindo temos $\Omega_{12}^{\text{TOTAL}} = \Omega_1 \Omega_2$ e $S_{12}^{\text{TOTAL}} = S_1 + S_2$. Neste caso de não ter interações fixas temos

$$\Omega_{12}^{\text{TOTAL}}(E_{12}) = \sum_{E_1} \Omega_1(E_1, E_{12}) \Omega_2(E_{12} - E_1)$$

E_1 é somado tal que E_{12} está no intervalo SE_{12} .

Devido a interações temos algo como E_1 é a principal da entropia não é a soma das entropias individuais. Temos que isso soma tem um contribuição dominante quando $E_1 = E_1$ para $N \gg 1$ (a dist. de prob tem um máximo pronunciado). Logo podemos fazer a aproximação

$$\Omega_{12}^{\text{TOTAL}}(E_{12}) \approx \Omega_1(\tilde{E}_1) \Omega_2(\tilde{E}_{12} - \tilde{E}_1)$$

e temos

$$S_{12}^{\text{TOTAL}} \approx S_1 + S_2$$

Ou seja, no limite termo dinâmico a entropia se torna extensiva.

Note tb que o fato da entropia ser aditiva tem origem em desprezarmos as interações. Quando as interações, de longe, alcance, como a gravidade, isso aproximação não é válida e tanto a energia como a entropia não são extensivas. A teoria que iremos desenvolver, Físico estatístico de Boltzmann-Gibbs, não se aplica nesses casos. Há tentativas de resolver esses problemas usando outras definições de entropia que dão origem a "físicos estatísticos não extensivos" (um exemplo é a entropia de Tsallis)

Quando as interações são de curto alcance, a interação entre os sistemas se exerce numa região finita em torno de fronteira que separa eles. Logo o # de partículas interagindo é proporcional à área da fronteira, L^2 , enquanto o # total de partículas é proporcional ao volume, L^3 . Como as respectivas energias são proporcionais ao número de partículas, no limite termodinâmico ($N, V \rightarrow \infty$ com $N/V \text{ const}$) temos, $E_{\text{INT}}/E_{\text{TOTAL}} \rightarrow 0$. Mas insiste que provar isso formalmente com teoria de perturbação é mais complicado. E além de provar que se pode desprezar E_{INT} temos que provar que os microestados (autostados em MQ) não são mais difíceis.

5.9) Resumo

1) Estudamos a interação entre dois sistemas

- i) considerando o sistema total isolado
- ii) desprezando as interações
- iii) considerando que todos os microestados são equiprováveis

2) Obtemos um disk. de prob. para as variáveis "livres": $\beta(\{x_i\})$

3) Vemos que p/ sistemas macro $\beta(\{x_i\})$

- i) tem um máximo pronunciado e estreito

4) Asociamos o máx. de $\beta(\{x_i\})$ com o estado de equilíbrio termodinâmico

5) Obtemos (ou postulamos?) definições microscópicas para temperatura e entropia.

Assim conseguimos "derivar" ou melhor justificar a alguns aspectos do termodinâmico a partir do físico microscópico.

Além disso

6) Introduzimos o ensemble microcanônico: o sistema tem E, V, N fixos

A seguir iremos estudar alguns sistemas utilizando o ensemble microcanônico: consideraremos o sistema completamente isolado (retirados do cap. 4. do Salino)

A ideia é usar a conexão micro/macro $S = k_B \ln \Omega$ para obter S microscopicamente e usando as relações do termo (derivados parciais de S) obter todos os outros grados de liberdade e relações entre eles a partir de S .

Paramagnete ideal de spin $1/2$

Se N spin $1/2$ localizados, no presença de um campo magnético e sem interação entre si.

Esse modelo é o mais simples que temos para estudar como o momento magnético de um sistema varia com a temperatura.

Veamos que ele explica o comportamento de sistemas chamados paramagnéticos, os quais são ativos, por um campo magnético e portanto têm susceptibilidade magnética $\chi = \partial m / \partial H > 0$. Além disso eles não retêm a magnetização: o momento magnético vai a zero quando o campo externo é removido.

A hamiltoniano é

$$H = - \sum_i \vec{\mu}_i \cdot \vec{H} = - \mu_0 H \sum_i \sigma_i$$

com σ_i a componente do spin no direção do campo, em geral tomada como \hat{z} .

Sabemos do Mecânica quântica que as variáveis de spin σ_i só podem assumir 2 valores para spin $1/2$: $\sigma_i = \pm 1$

A rigor $\mu_0 = g \mu_B / 2$ com $\mu_B = e\hbar / (2me)$ o magneton de Bohr, o fator "2" se deve ao spin $1/2$ e g é o fator g ($\approx 2 p/e^-$). Mas iremos usar μ_0 sem esses detalhes.

A energia depende do campo externo H . Assim queremos obter os grandes macroscópicos como temp, entropia e magnetizações em função de H .

Para isso iremos usar a definição de Boltzmann para a entropia e a partir disso calcular outros grandes termos dinâmicos

Assim o primeiro passo é obter o # de microestados acessíveis Ω para um dado valor de energia do sistema

O microestado é dado por uma lista com o valor de σ_i de cada spin: $\{\sigma_1, \sigma_2, \dots, \sigma_N\}$

Como havíamos visto a energia só depende do sinal dos spins ± 1 e -1

$$H = -\mu_0 H (N_+ - N_-) \quad \text{com} \quad N_+ + N_- = N$$

O # de microestados para um dado N_+ é

$$\Omega(N_+, N) = \frac{N!}{N_+! N_-!} = \frac{N!}{N_+!(N-N_+)!}$$

Como sabemos a energia do sistema só melhor escovar tudo em termos de E as ineqs de N_+ e N_-

$$\begin{cases} E = -\mu_0 H (N_+ - N_-) \\ N = N_+ + N_- \end{cases}$$

$$\begin{cases} -\frac{E}{\mu_0 H} = (N_+ - N_-) \\ N = N_+ + N_- \end{cases} \rightarrow \begin{aligned} N_+ &= \frac{1}{2} \left(N - \frac{E}{\mu_0 H} \right) \\ N_- &= \frac{1}{2} \left(N + \frac{E}{\mu_0 H} \right) \end{aligned}$$

Assim

$$\Omega(E, N) = \frac{N!}{\left[\frac{1}{2} \left(\frac{N-E}{\mu_0 H} \right) \right]! \left[\frac{1}{2} \left(\frac{N+E}{\mu_0 H} \right) \right]!}$$

Note que dado a variável macro E o valor de N_+ (e N_-) que serão outra variável macro fico determinado. Como vemos N_+ e E determinam o valor do momento magnético do sistema.

Assim más precisamos maximizar $\ln \Omega$ para obter o estado de equilíbrio. Ele já é definido por E .

O interesse aqui é obter correspondência entre grandezas macro e micro e equações de estado para o sistema.

Para isso iremos utilizar a fórmula de Boltzmann para a entropia: $S = k_B \ln \Omega$

$$E temos \quad \ln \Omega(E, N) = \ln N! - \ln \left[\frac{1}{2} \left(\frac{N-E}{\mu_0 H} \right) \right]! - \ln \left[\frac{1}{2} \left(\frac{N+E}{\mu_0 H} \right) \right]!$$

Como estamos interessados no limite termodinâmico de $N \rightarrow \infty$ podemos usar a aprox. de Stirling para eliminar o factorial que

é main chato de ser manipulado. Usamos $\ln N! \approx N \ln N - N$
 $\approx N \ln N$

$$\ln \mathcal{L}(E, N) = N \ln N - \frac{1}{2} \left(N - \frac{E}{\mu_{\text{eff}}} \right) \ln \left[\frac{1}{2} \left(N - \frac{E}{\mu_{\text{eff}}} \right) \right] - \frac{1}{2} \left(N + \frac{E}{\mu_{\text{eff}}} \right) \ln \left[\frac{1}{2} \left(N + \frac{E}{\mu_{\text{eff}}} \right) \right]$$

Assim

$$\begin{aligned} \lim_{\substack{N \rightarrow \infty \\ E/N = u}} \frac{1}{N} \ln \mathcal{L}(E, N) &= \ln N - \frac{1}{2} \left(1 - \frac{u}{\mu_{\text{eff}}} \right) \ln \left[\frac{N}{2} \left(1 - \frac{u}{\mu_{\text{eff}}} \right) \right] - \frac{1}{2} \left(1 + \frac{u}{\mu_{\text{eff}}} \right) \ln \left[\frac{N}{2} \left(1 + \frac{u}{\mu_{\text{eff}}} \right) \right] \\ &= \ln N - \frac{1}{2} \left(1 - \frac{u}{\mu_{\text{eff}}} \right) \left[\ln \frac{N}{2} + \ln \left(1 - \frac{u}{\mu_{\text{eff}}} \right) \right] - \frac{1}{2} \left(1 + \frac{u}{\mu_{\text{eff}}} \right) \left[\ln \frac{N}{2} + \ln \left(1 + \frac{u}{\mu_{\text{eff}}} \right) \right] \\ &= \underbrace{\ln N - \frac{1}{2} \ln \left(\frac{N}{2} \right) \left[1 - \frac{u}{\mu_{\text{eff}}} + 1 + \frac{u}{\mu_{\text{eff}}} \right]}_{\ln N - \ln(N/2)} - \frac{1}{2} \left(1 - \frac{u}{\mu_{\text{eff}}} \right) \ln \left(1 - \frac{u}{\mu_{\text{eff}}} \right) - \frac{1}{2} \left(1 + \frac{u}{\mu_{\text{eff}}} \right) \ln \dots \\ &\quad \ln u - \ln \pi + \ln 2 \end{aligned}$$

Assim $s(u) = \lim_{N \rightarrow \infty} \frac{K_B \ln \mathcal{L}(E, N)}{N}$

Logo depende de N pq é a densidade

$$s(u) = K_B \ln 2 - \frac{K_B}{2} \left(1 - \frac{u}{\mu_{\text{eff}}} \right) \ln \left(1 - \frac{u}{\mu_{\text{eff}}} \right) - \frac{K_B}{2} \left(1 + \frac{u}{\mu_{\text{eff}}} \right) \ln \left(1 + \frac{u}{\mu_{\text{eff}}} \right)$$

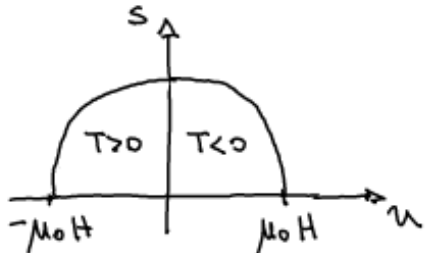
E usando as relações dos termos podemos obter todos os grandeços termodinâmicos a partir do entropia $s(u)$. A temperatura, por exemplo, é

$$\begin{aligned} \frac{1}{T} &= \frac{\partial s}{\partial u} = \frac{K_B}{2\mu_{\text{eff}}} \ln \left(1 - \frac{u}{\mu_{\text{eff}}} \right) - \frac{K_B}{2} \left(\frac{1-u}{\mu_{\text{eff}}} \right) \left(\frac{1-u}{\mu_{\text{eff}}} \right)^{-1} \left(-\frac{1}{\mu_{\text{eff}}} \right) \\ &\quad - \frac{K_B}{2\mu_{\text{eff}}} \ln \left(1 + \frac{u}{\mu_{\text{eff}}} \right) - \frac{K_B}{2} \left(\frac{1+u}{\mu_{\text{eff}}} \right) \left(\frac{1+u}{\mu_{\text{eff}}} \right)^{-1} \left(\frac{1}{\mu_{\text{eff}}} \right) \end{aligned}$$

$$\frac{1}{T} = \frac{K_B}{2\mu_{\text{eff}}} \left[\ln \left(1 - \frac{u}{\mu_{\text{eff}}} \right) - \ln \left(1 + \frac{u}{\mu_{\text{eff}}} \right) \right] \Rightarrow \text{Eq. de Estado para } T, u$$

Essas funções são um pouco chatas de se analisar diretamente.

Assim vamos "plotar" alguns gráficos, começando por $s(u)$



Note que $S(u)$ é uma função concava da energia: $\frac{d^2S}{dE^2} < 0$. Isso é uma condição necessária para a estabilidade termodinâmica do sistema (T deve aumentar quando E aumenta).

No entanto há uma região onde $\frac{dS}{dE} < 0$ e logo $T < 0$. Como mencionamos isso ocorre porque há uma energia máx. p/ o sistema e assim após algum valor $S(E)$ começo a diminuir com E e tb a entropia. Essa $T < 0$ quer dizer que fornecemos calor p/ o sistema e ele se torna mais ordenado (menor entropia) e mais maior desordem do que esperado.

Pesse modo não há modo de problemática com essa região com $T < 0$. Mesmo assim se denominava a região com $T > 0$ ($u < 0$) de região física.

Note tb que para $u = \pm \mu_0 H$ a entropia é nula. Há um único microestado acessível: todos os spins para cima em $u = -\mu_0 H$ e todos para baixo em $u = +\mu_0 H$. Por outro lado a entropia é máxima para $u = 0$ onde há metade dos spins p/ cima e p/ baixo.

Usando a expressão de T em função de u acima pode-se obter u em função de T

$$\frac{1}{T} = \frac{K_B}{2\mu_0 H} \ln \left[\left(\frac{1-u}{\mu_0 H} \right) \left(\frac{1+u}{\mu_0 H} \right)^{-1} \right]$$

$$\frac{1}{T} = \frac{K_B}{2\mu_0 H} \ln \left[\frac{\mu_0 H - u}{\mu_0 H + u} \right]$$

$$\frac{\mu_0 H - u}{\mu_0 H + u} = e^{\frac{2\mu_0 H}{K_B T}}$$

$$u \left(e^{\frac{2\mu_0 H}{K_B T}} + 1 \right) = \mu_0 H \left(1 - e^{\frac{2\mu_0 H}{K_B T}} \right)$$

$$u = \mu_0 H \left(\frac{e^{\mu_0 H/K_B T} - 1}{e^{\mu_0 H/K_B T} + 1} \right)$$

$$u = -\mu_0 H \tanh \left(\frac{\mu_0 H}{K_B T} \right) \quad \text{com } \tanh x = \frac{e^x - e^{-x}}{e^x + e^{-x}}$$

Outro grande de interesse é a magnetização do sistema que tal como a energia só depende de N_+ . Aqui tb é melhor obter uma "densidade": a magnetização por partícula

$$m = \frac{M}{N} = \frac{\mu_0 N_+ - \mu_0 N_-}{N} = \mu_0 \frac{(N_+ - N_-)}{N}$$

Lembremos mds que $E = -\mu_0 H (N_+ - N_-)$

Termos

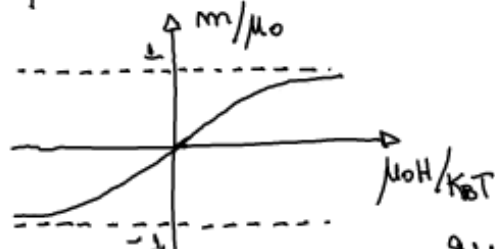
$$m = -\frac{E}{H} \frac{1}{N} = -\frac{n}{H}$$

logo

$$m = \mu_0 \tanh\left(\frac{\mu_0 H}{k_B T}\right)$$

Eq. de estado p/ m. Conhecida como eq. de Langevin do paramagnetismo

com que forma como a magnetização varia com a temperatura e graficamente temos



→ magnetizações em unidades de μ_0 em função do campo em unidades de $k_B T / \mu_0$

→ há uma competição entre o campo que tenta alinhar os spin e as flutuações térmicas que tentam desordená-los

Paro $\frac{\mu_0 H}{k_B T} \gg 1$

: campos grandes e temperaturas baixas o sistema saturo com todos os spin na direção do campo:

$$m \rightarrow \pm \mu_0 \Rightarrow M \rightarrow \pm N \mu_0$$

↳ depende da direção de H

Paro

$\frac{\mu_0 H}{k_B T} \ll 1$: campos pequenos e temp. altas a mag. varia linearmente com H (proporcionalidade diminui c/T)

$$\ln \frac{e^x - \bar{e}^x}{e^x + \bar{e}^x} \approx \frac{1+x-1-x}{1+x+1-x} = x$$

$$\frac{m}{\mu_0} \approx \frac{\mu_0}{k_B T} H$$

Esse comportamento linear é característico de cristais paramagnéticos

Note que $m=0$ p/ $H=0$ como esperado p/ paramagnete. As flutuações térmicas não permitem nenhuma orientação macroscópica dos spins. Só há momento magnético quando um campo externo induz a orientação dos spins.

O modelo não explica o ferrimagnetismo onde $m \neq 0$ p/ $H=0$

E interessante obter tb a susceptibilidade magnética χ

$$\chi(T, H) = \frac{\partial m}{\partial H}$$

Lembremos que $\frac{\partial}{\partial x} \tanh x = 1 - \tanh^2 x = \frac{1}{\cosh^2 x}$

$$\chi(T, H) = \frac{\mu_0^2}{K_B T} \cosh^{-2}\left(\frac{\mu_0 H}{K_B T}\right)$$

Para campo nulo ($H=0$)

$$\chi(T, 0) = \chi_0(T) = \left(\frac{\mu_0^2}{K_B}\right) \frac{1}{T}$$

$\chi_0(T)$ varia com o inverso de T

↳ Lei de Curie do paramagnetismo que foi testado e confirmado em muitos compostos. Pode ser usado como termômetro p/ baixas temp.

Foi descoberta experimentalmente por Pierre Curie (marido de Marie Curie). Na verdade ele obteve que $m = \text{const} \left(\frac{H}{T}\right)$ que é equivalente

Note que apesar da energia e a magnetização total do sistema estarem fixas a de cada partícula não está. Do ponto de vista do ensemble todo sistema tem um microestado bem definido com as energias e magnetizações de cada partícula fixa. Mas cada sistema tem um microestado distinto.

Por outro lado consideramos que mesmo sistema no lab. está evoluindo no tempo e passando por todos esses possíveis microestados (de modo "uniforme") e assim as energias e magnetizações individuais estão fixas. Mas para isso deve haver uma pequena interação entre as partículas que desejamos.

Poderemos ir adiante e calcular a prob. encontrar um spin qualquer na direção do campo ($+z$) e portanto cl energia $-\mu_0 H$.

$$m = \frac{N_+}{N} = \frac{1}{N} \frac{1}{2} \left(N - \frac{E}{\mu_0 H} \right) = \frac{1}{2} \left(1 - \frac{n}{\mu_0 H} \right)$$

usando que $n = -\mu_0 H \tanh\left(\frac{\mu_0 H}{K_B T}\right)$

$$m = \frac{1}{2} \left(1 + \tanh \frac{\mu_0 H}{K_B T} \right) \quad ; \quad 1 + \tanh x = \frac{2 e^x}{e^x + e^{-x}}$$

$$n = \frac{e^{\mu_0 H / K_B T}}{e^{\mu_0 H / K_B T} + e^{\mu_0 H + E_i / K_B T}} \quad \text{notar que a energia de } + \text{ partícula}$$

$E_i = -\mu_0 H$

O fator exponencial é $e^{-E_i / K_B T}$ e é chamado de fator de Boltzmann e fornece a prob. de encontrar uma partícula queique com uma certa energia E_i num sistema de partículas mais intensamente a uma temp. T . Iremos obter esse resultado com mais detalhe quando estudarmos o ensemble canônico

Sólidos de Einstein

Paper original: "Planck Theory of Radiation and the Theory of Specific Heat" Ann. d Physik 22, 180 (1907)

Sistema de N osciladores harmônicos unidimensionais quantizados, localizados e sem interação. Todos têm a mesma constante de mola K e portanto a mesma freq. ω .

Esse sistema é o modelo mais simples para se levar em conta as vibrações dos átomos em um cristal em 3D. Cada átomo é modelado como um oscilador e descrevemos as interações.

Ele foi usado por Einstein em 1907 para mostrar que esse modelo simples quando usando as ideias de quantização é capaz de prever a dependência da calor específico de sólidos com a temperatura.

De fato, esse resultado foi um dos primeiros predizendo sucessos da Mec. Quantica, juntamente com a radiação de corpo negro e o efeito fotoelétrico; mas é menos mencionado.

lembrando que p/ um oscilador $E = \hbar\omega (\hat{m} + \frac{1}{2})$ com \hat{m} o número de quantas de energia do oscilador. Assim as energias possíveis são $E_m = (m + \frac{1}{2})\hbar\omega$ com $m = 0, 1, 2, \dots$

O microestado desse sistema é especificado por um conjunto de N números inteiros (m_1, m_2, \dots, m_N).

A energia total é

$$\begin{aligned} E_{m_1, m_2, \dots} &= (m_1 + \frac{1}{2})\hbar\omega + \dots + (m_N + \frac{1}{2})\hbar\omega \\ &= (m_1 + \dots + m_N + N/2)\hbar\omega \\ &= M\hbar\omega + N/2\hbar\omega \end{aligned}$$

com $M = \sum_{i=1}^N m_i$ o número total de quantas do sistema.

Agora temos que calcular o # de microestados acessíveis para um dado valor de energia, E que é determinado por M : qual é o maneira de se distribuir M quantas entre os N osciladores?

E é verdade, fazer essa contagem é a parte mais difícil do problema. O problema é análogo a distribuir M bolas em N caixas

o o | o o o | o o o ... o o

Tinha M bolas e $N-1$ divisões entre elas (que definem as caixas). Assim só preciso obter o número de maneiras de permitir esses $M + (N-1)$ objetos que é $[M + (N-1)]!$ Como as bolas e divisões são indistinguíveis tanto que dividir por $M!$ e por $(N-1)!$

$$\Omega(E, N) = \frac{(M + N - 1)!}{M! (N - 1)!} = \frac{(E/\hbar\omega + N/2 - 1)!}{(E/\hbar\omega - N/2)! (N - 1)!}$$

usando $E = (M + N/2)\hbar\omega \rightarrow M = E/\hbar\omega - N/2$

Para obter os termos maiores usan a aproximação de Stirling que facilita a manipulação e se torna "exata" no limite termodinâmico ($N \rightarrow \infty$) que é o caso de interesse. Logo ($\ln N! \approx N \ln N$)

$$\ln \Omega(E, N) = (E/k_B + N/2 - 1) \ln(E/k_B + N/2 - 1) - (E/k_B - N/2) \ln(E/k_B - N/2) - (N-1) \ln(N-1) + \dots$$

+ termos de ordem $\ln N$ e $\ln E$

+ b termos que desprezam o termo $\ln(N-1)$ e usar $N-1 \approx N$

$$\ln \Omega(E, N) = -N \ln N + (E/k_B + N/2 - 1) \ln(E/k_B + N/2 - 1) - (E/k_B - N/2) \ln(\dots)$$

No limite termodinâmico a entropia por escalar fico

$$\begin{aligned} S(u) &= \lim_{\substack{N \rightarrow \infty \\ E/N = u}} \frac{1}{N} k_B \ln \Omega(E, N) \\ &= -k_B \ln N + k_B \left(\frac{u/k_B + 1/2}{N} \right) \ln N \left(\frac{u/k_B + 1/2}{N} \right) - k_B \left(\frac{u/k_B - 1/2}{N} \right) \ln N (\dots) \\ &= -k_B \ln N + k_B \ln N \left(\frac{u/k_B + 1/2}{N} - \frac{u/k_B - 1/2}{N} \right) + k_B \left(\frac{u/k_B + 1/2}{N} \right) \ln \left(\frac{u/k_B + 1/2}{N} \right) \\ &= k_B \left(\frac{u}{k_B} + \frac{1}{2} \right) \ln \left(\frac{u}{k_B} + \frac{1}{2} \right) - k_B \left(\frac{u}{k_B} - \frac{1}{2} \right) \ln \left(\frac{u}{k_B} - \frac{1}{2} \right) - k_B \left(\frac{u}{k_B} + \frac{1}{2} \right) \ln \left(\frac{u}{k_B} + \frac{1}{2} \right) \end{aligned}$$

Ex a partir de $S(u)$ pode-se obter todos os outros quocientes dos termos dinâmicos.

A eq. de estados para a temp. por exemplo fico

$$\begin{aligned} \frac{1}{T} &= \frac{\partial S}{\partial u} = k_B \left(\frac{1}{k_B} \right) \ln \left(\frac{u}{k_B} + \frac{1}{2} \right) + k_B \underbrace{\left(\frac{u}{k_B} + \frac{1}{2} \right) \left(\frac{u}{k_B} + \frac{1}{2} \right)^{-1}}_{\Delta} \frac{1}{k_B} \\ &\quad - k_B \left(\frac{1}{k_B} \right) \ln \left(\frac{u}{k_B} - \frac{1}{2} \right) - k_B \underbrace{\left(\frac{u}{k_B} - \frac{1}{2} \right) \left(\frac{u}{k_B} - \frac{1}{2} \right)^{-1}}_{\Delta} \frac{1}{k_B} \end{aligned}$$

$$\frac{1}{T} = \frac{k_B}{k_B} \ln \left(\frac{2u/k_B + 1}{2u/k_B - 1} \right)$$

Pode-se obter então $u(T)$

$$\frac{2u/k_B + 1}{2u/k_B - 1} = e^{\frac{k_B T}{k_B T}} \rightarrow 2u + k_B T = e^{\frac{k_B T}{k_B T}} (2u - k_B T)$$

$$2u \left(1 - e^{\frac{k_B T}{k_B T}} \right) = -k_B T \left(1 + e^{\frac{k_B T}{k_B T}} \right)$$

$$u = \frac{k_B T}{2} \left(\frac{1 + e^{\frac{k_B T}{k_B T}}}{-1 + e^{\frac{k_B T}{k_B T}}} \right) \quad \text{uso } \frac{e^x + 1}{e^x - 1} = \frac{e^{-\frac{1}{2}} + 2}{e^{-\frac{1}{2}} - 1} = 1 + \frac{2}{e^{-\frac{1}{2}}}$$

$$u(T) = \frac{k_B T}{2} + \frac{k_B T}{e^{\frac{k_B T}{k_B T}} - 1}$$

Essa forma para $u(T)$ é interessante pq deixa explícito que

- no limite $T \rightarrow 0$ temos $u \rightarrow \frac{\hbar\omega}{\sum}$: energia quântica do "ponto zero"

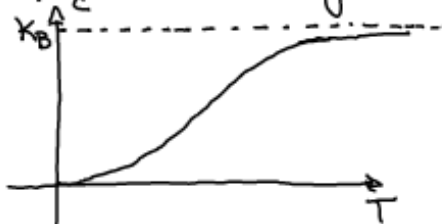
- no limite $T \rightarrow \infty$ temos $u \rightarrow k_B T$: resultado clássico

O calor específico fico

$$c = \frac{\partial u}{\partial T} = -T \frac{\hbar\omega}{(e^{\hbar\omega/k_B T} - 1)^2} e^{\hbar\omega/k_B T} \left(-\frac{\hbar\omega}{k_B T^2} \right)$$

$$c(T) = k_B \left(\frac{\hbar\omega}{k_B T} \right)^2 \frac{e^{\hbar\omega/k_B T}}{(e^{\hbar\omega/k_B T} - 1)^2}$$

Essa função tem a seguinte forma



Para

- $k_B T \gg \hbar\omega \rightarrow T \gg T_E = \frac{\hbar\omega}{k_B} \Rightarrow c \rightarrow K_B$: se torna constante
- $k_B T \ll \hbar\omega \rightarrow T \ll T_E = \frac{\hbar\omega}{k_B} \Rightarrow c \rightarrow k_B \left(\frac{\hbar\omega}{k_B T} \right)^2 e^{-\frac{\hbar\omega}{k_B T}}$
 Isso decréce exponentialmente c/T

Em torno de 1820 Dulong & Petit observaram experimentalmente que a capacidade térmica molar de todos os sólidos, a temp. suficientemente elevada, se aproximava de um valor constante ($6 \text{ cal/mol}^\circ\text{C}$)

Esse resultados podiam ser obtidos usando o teorema dos equiparticionamentos da energia (da mesma maneira que C_V era igual para diversos gases), e/ou a física estatística clássica.

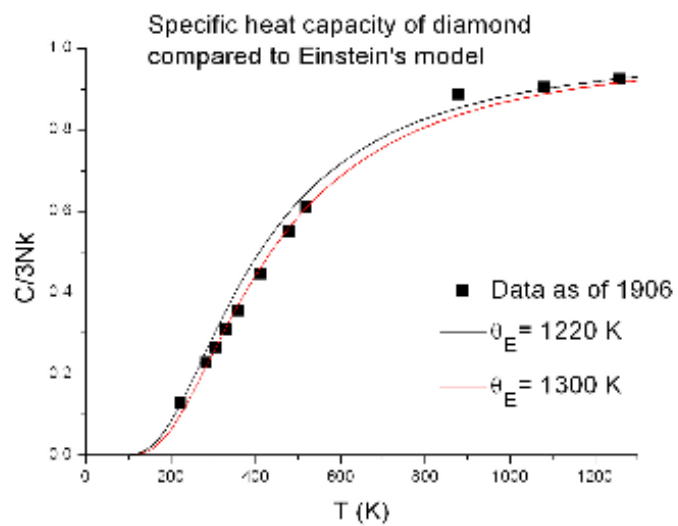
Assim, arrisca-se dizer que os resultados deviam ser válidos a baixas temp.

Experimentos a baixas temp. só mostraram que c tendia a zero com $T \rightarrow 0$.

Esse resultado era previsto pelo modelo de Einstein e se tornou uma das primeiras evidências do necessário uso da utilização da teoria das quanta de energia de Planck.

Medidas mais precisas posteriormente mostraram que a dependência não era exponencial mas sim com T^3 . Esse comportamento foi previsto pelo modelo de Debye proposto em 1912.

e que leva em conta a interacção entre os átomos que leva a um modelo de osciladores com frequências diferentes (fótons numérico). Na verda de para sólidos em 3D temos que considerar as 3 direções independentes de oscilações para obter $C \xrightarrow{T \gg \theta_E} 3K_B$

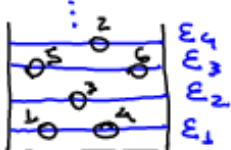


<http://www.hep.man.ac.uk/u/forshaw/BoseFermi/Plots/heat%20capacity.jpg>

Gás de Boltzmann

Esse é um modelo de gás proposto por Boltzmann, onde as energias de cada partícula são quantizadas e portanto só podem assumir alguns valores discretos E_j com $j = 1, 2, \dots$

O microestado do sistema é especificado pelo conjunto de todos partículas. Pode nos imaginar uma caixa com partículas quantizadas.



microestados $\rightarrow \{E_{j1}, E_{j2}, \dots, E_{jn}\}$

\hookrightarrow partícula k está no nível j_k com energia E_{jk}

A energia total é

$$E = E_{j1} + E_{j2} + \dots + E_{jn}$$

Note que podem existir mais que uma partícula em um dado nível ou seja, com vários de mesmo nível.

Assim é interessante definir o número de ocupações de um dado nível: N_k : # de partículas com energia E_k

Desse modo a energia fixa

$$E = \sum_k E_k N_k \quad \text{com} \quad \sum_k N_k = N$$

Ou seja elas é uma função das N_k

O caso da paramagnetismo é um caso particular com dois níveis. Nesse caso, E é função de N_1 e N_2 , mas como $N_1 + N_2 = N$ elas é função só de N_1 (para N constante).

Assim a energia fixa é número de ocupações, que determinam por exemplo o momento magnético total do sistema.

Aqui é um pouco mais complicado. A energia não fixa os valores de $\{N_1, N_2, \dots\}$. Há mais que um conjunto de valores que dão a mesma energia. Portanto iremos obter qual o valor de equilíbrio para as ocupações N_j . Matematicamente isso ocorre pq temos várias variáveis (N_1, N_2, \dots) mas somente 2 equações.

Para isso primeiro temos que obter o # de microestados acessíveis para um determinado conjunto de N_j e energia.

Temos N "belos" para distribuir nos infinitos níveis sendo que não distinguimos "belos" nos mesmos níveis

, logo o numero de microestados acessíveis para uma dada energia

$$\Omega(\{N_j\}, E, N) = \frac{N!}{N_1! N_2! N_3! \dots}$$

com os vínculos

$$N = \sum_i N_j \quad E = \sum_j \epsilon_j N_j$$

Novamente, nesse sistema conteremos um parâmetro macro, a energia E , mas mais outros, as ocupações, e nosso objetivo é obter os valores de eq. para eles.

O valor de eq. é associado ao valor mais provável, ou seja quando $S(\{N_j\}, E, N) \approx \Omega(\{N_j\}, E, N)$ é máximo.

Temos que obter o máximo de $\ln \Omega(\{N_j\}, E, N)$ com os vínculos sobre N e E .

No caso do paramagnete o vínculo é o simples e usávamos ele para eliminar N_2 e escrever Ω só em termos de N e N_1 . Aqui isso é possível mas bem mais complicado.

E' mais fácil utilizar os multiplicadores de Lagrange que são técnicas geradas para obter os extremos de uma função $f(x_1, x_2, \dots, x_n)$ sujeitas a vínculos $\phi_1(x_1, \dots, x_n) = c_1$; $\phi_2(x_1, \dots, x_n) = c_2$; ... com c_1, c_2, \dots constantes.

Quero

$$d \ln \Omega = \sum_j \frac{\partial \ln \Omega}{\partial N_j} dN_j = 0$$

$$\text{com } dN = \sum_j \frac{\partial N}{\partial N_j} dN_j = 0$$

$$dE = \sum_j \frac{\partial E}{\partial N_j} dN_j = 0$$

Tendo que resolver o sistema de eq.s. Não posso levar todos os $\frac{\partial \ln \Omega}{\partial N_j} = 0$ por causa dos dois vínculos: os N_j não são todos independentes. Introduzo duas novas variáveis para deixar

∞N_j todos indep. Assim temos

$$\frac{\partial \ln \mathcal{L}}{\partial N} - \lambda_1 \frac{\partial N}{\partial N} - \lambda_2 \frac{\partial E}{\partial N} = 0$$

$$\sum_j \left(\frac{\partial \ln \mathcal{L}}{\partial N_j} - \lambda_1 \frac{\partial N}{\partial N_j} - \lambda_2 \frac{\partial E}{\partial N_j} \right) dN_j = 0$$

Duas destas eqs m^as podiam ser nulas. Mas agora escolho λ_1 , λ_2 para que sejam nulas! Logo temos

$$\frac{\partial \ln \mathcal{L}}{\partial N_j} - \lambda_1 - \lambda_2 \varepsilon_j = 0$$

Esse eq. pode ser obtido extremizando a fun^co^a

$$F = \ln \mathcal{L} + \lambda_1 (N - \sum_j N_j) + \lambda_2 (E - \sum_j \varepsilon_j N_j)$$

Agora temos que usar a aprox. de Stirling

$$\ln \mathcal{L} \approx N \ln N - \sum_j N_j \ln N_j$$

Assim a condi^co^a de extremo fⁱxo (us^a $\ln N_j + 1 \approx \ln N_j$)

$$-\ln N_j - \lambda_1 - \lambda_2 \varepsilon_j = 0$$

Assim temos que resolver o seguinte sistema

$$\begin{cases} \ln N_j + \lambda_1 + \lambda_2 \varepsilon_j = 0 \\ \sum_j N_j = N \\ \sum_j \varepsilon_j N_j = E \end{cases} \rightarrow \text{mais simples que o sistema original}$$

Temos

$$N_j = e^{-\lambda_1} e^{-\lambda_2 \varepsilon_j} z_1$$

Logo

$$\sum_j N_j = e^{-\lambda_1} \sum_j e^{-\lambda_2 \varepsilon_j} z_1 = N$$
$$e^{-\lambda_1} = N/z_1$$

e

$$N_j = \frac{N}{z_1} e^{-\lambda_2 \varepsilon_j} \text{ com } z_1 = \sum_j e^{-\lambda_2 \varepsilon_j}$$

um fator de normalização

Assim vemos que o valor da eq. de N_j é proporcional a $e^{-\lambda_2 \varepsilon_j}$, ou seja, decresce exponencialmente com ε_j

$\frac{N_j}{N} = \frac{e^{-\lambda_2 \varepsilon_j}}{z_1}$ e pode ser interpretado como a prob. de ter N_j partículas no nível ε_j

O fator $e^{-\lambda_2 \varepsilon_j}$ é chamado de fator de Boltzmann e só aparece no ensemble comⁿico onde a energia n^ao est^a fixa.

Aqui ele está relacionado com a probabilidade para um único nível ter um dado populogás num sistema de partículas independentes

λ_2 pode ser obtido a partir do resultado no enunciado

$$E = \sum_j \epsilon_j N_j = N \sum_j \frac{\epsilon_j e^{\lambda_2 \epsilon_j}}{Z_1}$$

Note que $-\frac{\partial}{\partial \lambda_2} Z_1 = \sum_j \epsilon_j e^{\lambda_2 \epsilon_j}$

Logo

$$E = N \frac{-\partial / \partial \lambda_2 Z_1}{Z_1} = -N \frac{\partial}{\partial \lambda_2} \ln Z_1$$

Para obter Z_1 devemos tomar o limite de contínuo

$$\epsilon_k \rightarrow \frac{m \vec{\sigma}^2}{2}$$

$$\begin{aligned} Z_1 &\rightarrow \int d^3 \vec{\sigma} e^{-\lambda_2 \frac{m \vec{\sigma}^2}{2}} \\ &= \underbrace{\int d\sigma_x e^{-\lambda_2 \frac{m \sigma_x^2}{2}}}_{\text{gaussiana}} \int d\sigma_y e^{-\lambda_2 \frac{m \sigma_y^2}{2}} \int d\sigma_z \dots \\ &= \left(\sqrt{\frac{\pi}{\lambda_2 m / 2}} \right)^3 = \left(\frac{2\pi}{\lambda_2 m} \right)^{3/2} \end{aligned}$$

Assim $E = -N \frac{\partial}{\partial \lambda_2} \left[\frac{3}{2} \ln \left(\frac{2\pi}{\lambda_2 m} \right) \right]$

$$E = -N \frac{3}{2} \frac{\lambda_2 m}{2\pi} \left(-\frac{2\pi}{\lambda_2^2 m} \right) = \frac{3N}{2\lambda_2}$$

$$\lambda_2 = \frac{3N}{2E} = \frac{3}{2} u$$

e portanto $N_j = \frac{N}{Z_1} e^{-\frac{3}{2} \frac{\epsilon_j}{u}}$

Podemos usar a eq. de estatística dosisso $E = \frac{3}{2} N k_B T$

e então $\lambda_2 = \frac{1}{k_B T}$

Nesse limite de contínuo temos

$$\begin{aligned} \frac{N_k}{N} &= \left(\frac{2\pi}{\lambda_2 m} \right)^{3/2} e^{-\frac{m \vec{\sigma}^2}{2k_B T}} \\ &= \left(\frac{2\pi k_B T}{m} \right)^{3/2} e^{-\frac{m \vec{\sigma}^2}{2k_B T}} \end{aligned}$$

Que é a famosa distribuição de Maxwell-Boltzmann para as velocidades dos partículas num gás

Usando que $\frac{Nk}{N} \rightarrow p(\vec{v}) d^3 \vec{v}$

↳ propriedade de partículas em um dado volume

$$p(\vec{v}) = \left(\frac{2\pi k_B T}{m} \right)^{3/2} e^{-\frac{mv^2}{2k_B T}}$$

↳ Essa distribuição foi proposta por Maxwell, que usou como justificativa o fato de ela ser a única distribuição de veloc. isotrópica (onde todos os componentes de \vec{v} são equivalentes)

Rein Boltzmann conseguiu obtê-la a partir do princípio dos probabilidades iguais

Esse modelo é interessante até porque é a primeira tentativa de entender níveis discretos para a energia; anterior ao trabalho de Planck.

Ele tb é bem genérico e entende a ideia dos níveis de ocupação para descrever o sistema que tb serão utilizados numa descrição mais completa dos partículas como fermions e bosons.

Um caso particular dele são sistemas de 2 níveis, como o paramagnete de spin $1/2$ ou um sistema com energias $E_1=0$ e $E_2=\epsilon$ que é o exemplo 4 da Salinas (Cap.4)

No entanto não é mais adequado para discutir o gás ideal clássico, onde deve-se usar o espaço de fases p/ obter o # de microestados acessíveis.

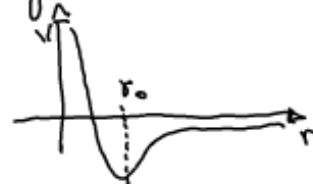
após ideal monoatômico clássico e o fator de gibbs $1/N!$

Vamos considerar um sistema de N partículas. A Hamiltoniana deve ser

$$H = \sum_i \frac{\vec{p}_i^2}{2m} + \sum_{i < j} V(\vec{r}_i - \vec{r}_j)$$

O termo $V(r)$ é o termo de interações entre as partículas. Seu forma exata é complicado. Mas ele deve aumentar rapidamente para distâncias muito pequenas evitando que uma partícula penetre nas outras e ter uma parte atórica que se anula rapidamente para $r \rightarrow \infty$. Uma forma realista e que pode ser tratada matematicamente é o potencial de Lennard-Jones

$$V(r) = \epsilon \left[\left(\frac{r_0}{r} \right)^{12} - 2 \left(\frac{r_0}{r} \right)^6 \right]$$



Para esse potencial pode-se melhorar a precisão do limite termo-dinâmico. Outros potenciais mais realistas requerem aproximações

Mas no vendo de erros ignorar o termo de interações, apesar de que ele não pode ser nulo para que o sistema equilibre trocando energia. E sabemos que essa aproximação é boa para goses a baixas densidades! Joses ideais

Novamente conheceremos a energia do nosso sistema, que é fixa já que ele está isolado, e tentos que primeiro obter o Ω de microestados acessíveis

$$\Omega(E, \Delta E, V, N) = \int \dots \int d\vec{r}_1 \dots d\vec{r}_N \int \dots \int d\vec{p}_1 \dots d\vec{p}_N$$

$$2mE \leq \sum \vec{p}_i^2 \leq 2m(E + \Delta E)$$

A integração na parte espacial do V . A integração na parte de momento é igual ao volume de um hipercubo de lado $2mE$ e espessura $2m\Delta E$.

Esse volume pode ser obtido e da

$$\Omega(E, \Delta E, V, N) = (2m)^{3N/2} E^{3N/2-1} \frac{\pi^{3N/2}}{\Gamma(3N/2)} V^N \Delta E$$

função gamma

Lembre que para obter um número finito e contínuo de microestados temos que definir um microestado como uma região de "volume elementar" h^{3N} e então dividir Ω por h^{3N} . A princípio só o valor de h é arbitrário e portanto nossas descricões parecem serem gral de arbitrariedade.

A entropia fixa

$$S = K_B \left[\frac{3N}{2} \ln(2m) + \left(\frac{3N}{2} - 1\right) \ln E - \ln \Gamma\left(\frac{3N}{2}\right) + N \ln V + \frac{3N}{2} \ln \pi + \ln \delta E - 3N \ln h \right]$$

em que h é o volume elementar h^{3N}

$$\Gamma(z) = \int_0^\infty dx e^{-x} x^{z-1}$$

Teremos que aproximar a função Γ que para inteiros é $\Gamma(n) = (n-1)!$

Para $N \gg 1$

$$\begin{aligned} \ln \Gamma\left(\frac{3N}{2}\right) &\approx \ln\left(\frac{3N}{2}-1\right)! \stackrel{\text{stirling}}{\approx} \left(\frac{3N}{2}-1\right) \ln\left(\frac{3N}{2}-1\right) - \left(\frac{3N}{2}-1\right) \\ &\approx \frac{3N}{2} \ln \frac{3N}{2} - \frac{3N}{2} \end{aligned}$$

$$S \approx K_B \left[\frac{3N}{2} \ln(2m) + \frac{3N}{2} \ln E - \frac{3N}{2} \ln \frac{3N}{2} + \frac{3N}{2} + N \ln V + \frac{3N}{2} \ln \pi + \ln \delta E - 3N \ln h \right]$$

$$S \approx N K_B \left\{ \frac{3}{2} + \ln \left[\left(2m E \frac{1}{\frac{3N}{2}} \pi \right)^{3/2} \frac{V}{h^3} \right] + \frac{\ln \delta E}{N} \right\}$$

$$\approx N K_B \left\{ \frac{3}{2} + \ln \left[\frac{V}{h^3} \left(\frac{4\pi m E}{3N} \right)^{3/2} \right] \right\}$$

Aqui podemos ver que o valor de δE que é arbitrária não irá influenciar S no limite termodinâmico

Vamos obter agora as eq.(s) de estado. Ainda não iremos tomar o limite termodinâmico e veremos pq depois.

$$\frac{1}{T} = \frac{\partial S}{\partial E} = N K_B \cancel{\frac{1}{N}} \left(\frac{4\pi m E}{3N} \right)^{-3/2} \cancel{\frac{1}{h^3}} \frac{3}{2} \left(\frac{4\pi m E}{3N} \right)^{1/2} \frac{4\pi m}{3N}$$

$$\frac{1}{T} = \frac{3N K_B}{2E}$$

Assim $E = \frac{3}{2} N K_B T$ que é a expressão conhecida do termo dinâmico p/ o gás ideal monatômico que tem

Poderemos obter tb a pressão usando

$$\begin{aligned} \frac{P}{T} &= \frac{\partial S}{\partial V} = N K_B \cancel{\frac{1}{V}} \left(\frac{4\pi m E}{3N} \right)^{3/2} \cancel{\frac{1}{h^3}} \left(\frac{4\pi m E}{3N} \right)^{3/2} \\ &= \frac{N K_B}{V} \end{aligned}$$

Assim $pV = Nk_B T$ que é a constante de estado (ou lei) dos gases ideais

É interessante notar que os resultados não dependem de ϵE e h . Na verdade só se obter os mesmos resultados se no cálculo da entropia só usassemos os microestados na superfície ($\epsilon E=0$) ou mesmo usando todos os microestados dentro do hiperesfero, ou seja com energia menor ou igual a E . Esse fato pode ser explorado no tentativo de procurar outras definições de entropia.

Note tb que essa derivação conecta a constante de Boltzmann k_B com a constante dos gases ideais R .

Voltando agora para massa expressão p/V

$$S \approx Nk_B \left\{ \frac{3}{2} \ln \left(\frac{V}{\pi h^3} \left(\frac{4\pi m E}{N} \right)^{3/2} \right) \right\}$$

No limite termodinâmico vemos que irá sobre uma dependência no volume total V : $E/N = u$ fico constante mas V aumenta! Ou seja a entropia se comporta mal no limite $N \rightarrow \infty$. Outro modo de ver isso é notar que $S(E, V, N)$ não é extensivo. Ela deveria aumentar com N , mas S aumenta com N , E e V sendo que E e V tb aumentam com N .

↳ Parece que há microestados demais!

Esse "problema" com S leva a um "paradoxo" discutido pelo primeiro vez por Gibbs e por isso conhecida como o paradoxo de Gibbs

Vamos analisar a situação de 2 gases diferentes, A e B, a mesma T e p , mas divididos por um divisorio

T, P	T, P
N_A, V_A	N_B, V_B

Poderemos escrever a entropia em termos de $V \circ T = \frac{2}{3} \frac{E}{Nk_B}$

$$S(V, T) = Nk_B \left[\frac{3}{2} + \ln \left(\frac{V}{h^3} (2\pi m k_B T)^{3/2} \right) \right]$$

$$S(V, T) = Nk_B \left[\ln V + 3/2 \ln T + \sigma \right] \quad \sigma = \frac{3}{2} + \frac{3}{2} \ln \left(\frac{2\pi m k_B}{h^2} \right)$$

↳ constante

Se retirarmos a divisão os gases irão se misturar e atingir um novo equilíbrio. A energia interna só depende de T e portanto não muda durante o processo. O pressão também não muda.

Preim a entropia muda, já que o volume de cada gás muda.

Antes temos (T, V_A, N_A) e (T, V_B, N_B) e depois $(T, V_A + V_B, N_A)$ e $(T, V_A + V_B, N_B)$

Pode-se obter facilmente

$$\begin{aligned} \Delta S &= S_A(T, V_A + V_B, N_A) + S_B(T, V_A + V_B, N_B) - S_A(T, V_A, N_A) - S_B(T, V_B, N_B) \\ &= N_A k_B \ln(V_A + V_B) + N_B k_B \ln(V_A + V_B) - N_A k_B \ln V_A - N_B k_B \ln V_B \\ \Delta S &= N_A k_B \ln\left(\frac{V_A + V_B}{V_A}\right) + N_B k_B \ln\left(\frac{V_A + V_B}{V_B}\right) \end{aligned}$$

Ou seja $\Delta S > 0$ e há um aumento de entropia

Por um lado isso parece razoável e correto. Houve um processo de mistura dos dois gases que é irreversível (não esperamos ver os gases se separarem espontaneamente).

Por outro lado, as variáveis macro que podemos observar (P, T) não mudam durante o processo. Ou seja, não há nenhum processo macroscópico visível ocorrendo no processo de retirar a divisão. Nesse sentido a entropia não deveria aumentar.

O aumento da entropia parece razoável quando pensamos nos dois gases como distintos inicialmente e depois como mistura. No final não distinguimos microestados onde temos um partícula de A por B.

Imagine agora que os gases A e B fossem o mesmo. Nesse caso nossas contas não mudariam e doremte o aumento de entropia iria parecer estranho pq não houve nem processo de mistura de gases distintos.

Nos mesmos contas estamos considerando que os partículas são distinguíveis: se trocarmos as posições e velocidades de 2 partículas temos um microestado distinto

Assim mesmo p/ gases idênticos a entropia aumenta pq os partículas que estão a esquerda irão se misturar de forma irreversível com os que estão a direita. Ou seja trocar um partícula do lado esquerdo por um do direita gera um novo microestado.

Nos podemos realmente distinguir os partículas individu-

menti? Claramente isso pode ser feito, seguindo a trajetória de cada um. Porem, do ponto de vista quântico isso não pode ser feito. Na mecânica quântica as partículas são indistintamente indistinguíveis: todas elas são iguais.

Assim teremos 2 partículas de partículas mas com um novo micro-estado; é a mesma microestada.

Essa é a origem do excesso de microestados que temos no nosso modelo. Temos que "retirar" esses microestados que são equivalentes.

Há $N!$ maneiras de permutar as N partículas, essas permutações não criam novos microestados para partículas indistintamente.

Então temos

$$\Omega(E, S, V, N) \rightarrow \frac{1}{N!} \Omega(E, S, V, N)$$

fator de correção de gibbs

A entropia fico

$$S = k_B N \left[\frac{3}{2} + \ln \frac{V}{h^3} \left(\frac{4\pi m E}{3N} \right)^{3/2} \right] - k_B \ln N!$$

Usando Stirling mais uma vez: $\ln N! \approx N \ln N$

$$S = k_B N \left[\frac{3}{2} + \ln \left(\frac{1}{h^3} \frac{V}{N} \left(\frac{4\pi m E}{3N} \right)^{3/2} \right) \right]$$

Esse expressão é bem comportado no limite $N \rightarrow \infty$ e se torna extensivo

$$\lim \frac{S}{N} \rightarrow s(u, v)$$

Refolgendo a conta para a mistura de gases veremos que

Vemos então que, para obter resultados consistentes temos que adotar o fator de gibbs "a mão", usando a justificativa que as partículas não são distinguíveis, embora claramente elas sejam. Note que obviamente pode-se argumentar que serão muito difícil seguir as trajetórias para ser capaz de distinguir as partículas. Mas isso não é um argumento para adotar o fator $1/N!$. O que importa aqui é se no teorema usado esses microestados são ou não distintos.

Logo vemos que nesse caso a mecânica quântica dos resultados mais consistentes que a mecânica clássica. O fator de gibbs aparece naturalmente.

Pode-se mencionar que existem tentativas de se resolver o paradoxo usando outras definições de entropia microscópico.

Na verdade há, uma vasta literatura sobre outras possíveis definições de entropia e até mesmas sobre qual é a "real" definição de de Boltzmann

De qualquer modo devemos sempre colocar a mão o fator "N" nos sistemas clássicos. Iremos haver situações onde os partículas são distinguíveis como quando elas estão localizadas em certas peças. Nesses casos não se deve usar o fator de gibbs